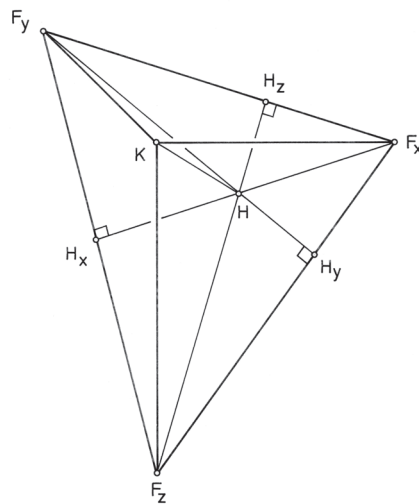


Kuva 3.3: Kuvan muodostuminen lintuperspektiivissä



Kuva 3.4: Pakopistekolmio $F_x F_y F_z$ korkeusjanoineen

ja toisaalta

$$\begin{aligned} \overrightarrow{F_x F_y} \cdot \overrightarrow{F_x F_z} &= \overrightarrow{K F_y} \cdot \overrightarrow{K F_z} - \overrightarrow{K F_y} \cdot \overrightarrow{K F_x} - \overrightarrow{K F_x} \cdot \overrightarrow{K F_z} + \overrightarrow{K F_x} \cdot \overrightarrow{K F_x} \\ &= \overrightarrow{K F_x} \cdot \overrightarrow{K F_x} = |\overrightarrow{K F_x}|^2 > 0, \end{aligned}$$

koska $\overrightarrow{K F_x}$, $\overrightarrow{K F_y}$ ja $\overrightarrow{K F_z}$ ovat toisiaan vastaan kohtisuoria. Tällöin $\cos \alpha > 0$, ts. $\alpha < 90^\circ$. Vastaavasti voidaan päätellä kahden muun kulman osalta.